

## ВЛИЯНИЕ ТЕМПЕРАТУРЫ НА ОБРАЗОВАНИЕ $F_2$ -ЦЕНТРОВ В РЕЗУЛЬТАТЕ ПЕРЕЗАРЯДКИ $F_2^+$ -ЦЕНТРОВ

*Л. А. Лисицына, В. А. Кравченко, В. И. Рейтеров*

Методами импульсной люминесцентной и абсорбционной спектроскопии с наносекундным временным разрешением исследован процесс образования  $F_2$ -центров при локализации электронов на предварительно созданных в кристалле  $F_2^+$ -центрах. Обнаружено, что система ( $F_2^+ + e$ ) может находиться в излучательном синглетном и триплетном состояниях, последующие переходы из которых приводят к образованию  $F_2$ -центров в основном синглетном состоянии с постоянными времени  $\tau_1 \leq 2 \cdot 10^{-8}$  и  $\tau_2 = 2.5 \times 10^{-2}$  с при 80 К. Установлено, что температурные зависимости эффективностей образования различных спиновых состояний  $F_2$ -центров в интервале 80—300 К имеют антисимбатный характер при постоянном выходе общего числа  $F_2$ -центров, образованных при локализации электронов на  $F_2^+$ -центрах. В области 80 К преобладает образование  $F_2$ -центров в излучательном синглетном состоянии.

Методом люминесцентной и абсорбционной спектроскопии с временным разрешением  $10^{-8}$  с в интервале температур 80—300 К исследован процесс локализации электронов на предварительно созданных в кристалле  $F_2^+$ -центрах окраски (ЦО) с образованием  $F_2$ -центров.

Источником радиации служил импульсный ускоритель электронов с параметрами пучка:  $t = 2 \cdot 10^{-8}$  с,  $E_{\text{оп}} = 0.2$  МэВ,  $j = 10^9$  А·см<sup>-2</sup>. Исследования проводились на кристаллах LiF, выращенных методом Стокбаргера, прозрачных в интервале 110—3000 нм, с содержанием кислорода, по данным протон-активационного анализа, менее  $1 \cdot 10^{-5}$  мол.%. Подготовка кристаллов с целью создания различных соотношений концентрации  $F_2^-$ - и  $F_2^+$ -центров осуществлялась в соответствии с методиками, описанными в [1-3]. Соотношение  $[F_2] \gg [F_2^+]$  получено в результате последовательного облучения кристалла импульсами электронов при 300 К. Соотношение  $[F_2] \neq 0$ ,  $[F_2^+] = 0$  достигалось либо путем облучения кристалла при 300 К и последующей выдержки при 300 К в течение нескольких суток, либо в результате дооблучения единичным импульсом радиации (ИР) при 80 К кристалла, предварительно облученного при 300 К. Соотношение  $[F_2^+] \gg [F_2]$  достигалось в результате облучения кристалла при 220 К и последующего нагрева его до 300 К. Кристаллы с заданным соотношением концентрации  $F_2^-$ - и  $F_2^+$ -центров затем подвергались воздействию единичного ИР ( $D = 5 \cdot 10^3$  Гр) при заданной температуре и исследовались выход  $\eta$  синглетной радиолуминесценции  $F_2$ -центров ( $\lambda_{\text{макс}} = 670$  нм) и кинетика релаксации поглощения в максимумах  $F_2^-$ - и  $F_2^+$ -полос во временном интервале  $10^{-8}$ —1 с после воздействия ИР.

В результате исследований установлено, что действие ИР на кристалл, содержащий  $F_2^+$  ЦО, приводит при всех температурах 80—300 К и дозах предварительного облучения до  $10^5$  Гр практически к полному ( $\sim 90$  %) безынерционному по отношению к длительности ИР разрушению  $F_2^+$ -центров. При этом обнаружено, что вид кинетики релаксации поглощения в максимуме  $F_2$ -полосы после дооблучения кристалла единичным ИР зависит от следующих параметров: температуры дооблучения и концентрации предварительно наведенных  $F_2^+$ -центров.

Действие ИР на кристалл, не содержащий  $F_2^+$ -центры, приводит к частичному разрушению  $F_2$  ЦО за время  $\leq 2 \cdot 10^{-8}$  с (рис. 1, а) во всей исследованной температурной области. Количество разрушенных  $F_2$ -центров  $N_p$  зависит от концентрации предварительно накопленных в кристалле  $F_2$  ЦО и от температуры дооблучения (рис. 2, а). Энергия активации процесса, ответственного за разрушение  $F_2$  ЦО, определенная по температурной зависимости  $N_p(T)$ , равна  $0.03 \pm 0.005$  эВ и совпадает с энергией активации процесса, ответственного за увеличение эффективности образования  $F$ -центров с ростом температуры, что свидетельствует в пользу разрушения  $F_2$  ЦО  $H$ -центрами.

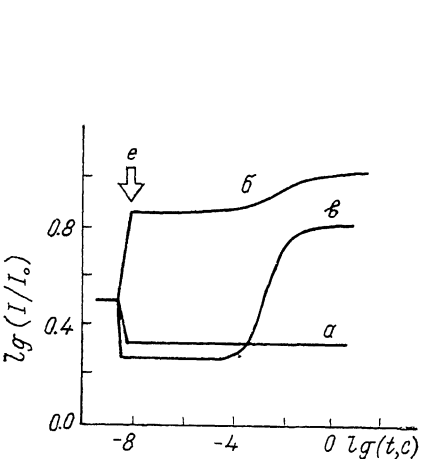


Рис. 1. Кинетики релаксации оптического поглощения в максимуме  $F_2$ -полосы после воздействия им пульса электронного облучения на кристалл LiF, не содержащий (а) и содержащий (б, в)  $F_2^+$ -центры.  $T=80$  (а, б), 300 К (в).

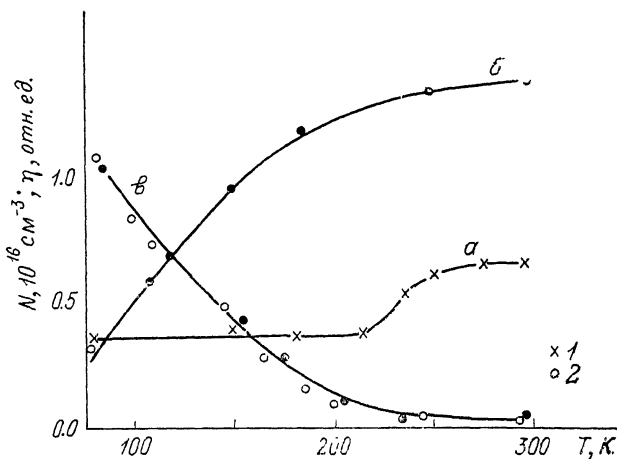


Рис. 2. Температурные зависимости числа<sup>а</sup> разрушенных за время действия импульса радиации  $F_2$ -центров в предварительно облученных кристаллах ( $D=10^5$  Гр), не содержащих  $F_2^+$ -центры (а); концентрации  $F_2$ -центров, процесс образования которых характеризуется  $\tau_2(N_2)$  (б); концентрации  $F_2$ -центров, образованных за время действия ИР ( $N_1$ ) (1), и выхода люминесценции  $F_2$ -центров, возбуждаемой действием того же ИР (2).

Действие ИР на кристалл, содержащий  $F_2^+$  ЦО, приводит при всех температурах к созданию за счет перезарядки  $F_2^+$ -центров дополнительного числа  $F_2$ -центров, о чем свидетельствует рост оптического поглощения в максимуме  $F_2$ -полосы. При этом вид кинетики релаксации поглощения зависит от температуры дооблучения. При 300 К (рис. 1, в) в кинетике релаксации поглощения наблюдаются наносекундный компонент разрушения ( $\tau_1 \leq 2 \cdot 10^{-8}$  с) и миллисекундный компонент роста поглощения, описываемый экспоненциальной зависимостью с постоянной времени  $\tau_2$ , зависящей от величины  $D$  — интегральной дозы предварительного облучения кристалла (при  $D=10^4$  Гр  $\tau_2=9 \cdot 10^{-2}$  с, при  $D=10^6$  Гр  $\tau_2=5 \cdot 10^{-2}$  с).

После воздействия единичного ИР при 80 К в кинетике релаксации поглощения в максимуме  $F_2$ -полосы присутствуют два компонента роста поглощения — наносекундный и миллисекундный (рис. 1, б). Смена знака процесса (наносекундный компонент разрушения заменяется наносекундным компонентом роста числа  $F_2$ -центров; рис. 1, б, в) свидетельствует о существовании в кристаллах, содержащих  $F_2^+$ -центры, процесса образования  $F_2$ -центров, по длительности сравнимого с длительностью ИР и по эффективности превосходящего процесс разрушения  $F_2$  ЦО при 80 К при данном соотношении концентрации  $F_2$ - и  $F_2^+$ -центров. Температура смены знака процесса определяется соотношением концентрации  $F_2$  и  $F_2^+$  ЦО и при  $[F_2^+]=\text{const}$  смещается в области низких температур с увеличением  $[F_2]$ .

Таким образом, исходя из вышеизложенного, очевидно, что при любой температуре облучения изменение величины поглощения в максимуме  $F_2$ -полосы за время действия ИР в спектре кристалла, содержащего  $F_2^+$ -центры, есть результат двух процессов — образования и разрушения  $F_2$  ЦО. При известной температурной зависимости числа разрушаемых ИР  $F_2$ -центров (рис. 2, а) температурная зависимость числа созданных за время действия ИР с  $\tau_1$   $F_2$ -центров ( $N_1$ ) (рис. 2, в) была получена нами как  $N_1(T) = N_n(T) - N_p(T)$ , где  $N_n(T)$  — измеряемое изменение числа  $F_2$ -центров за время действия ИР и  $N_p(T)$  — число разрушенных ИР  $F_2$ -центров при соответствующем значении температуры в кристалле, не содержащем  $F_2^+$ -центры.

Как уже было отмечено выше, в кристаллах, содержащих  $F_2^+$ -центры, процесс образования  $F_2$ -центров под действием ИР, характеризуется двумя постоянными времени  $\tau_1$  и  $\tau_2$ . Из рис. 2, б, в следует, что температурные зависимости количества  $F_2$ -центров, процессы образования которых характеризуются разными постоянными времени  $\tau_1$  ( $N_1$ ) и  $\tau_2$  ( $N_2$ ), имеют антибатный ход. Понижение температуры образца при облучении приводит к уменьшению величины  $N_2$  и возрастанию величины  $N_1$ . При этом оказалось, что общее количество  $F_2$ -центров, образующихся под действием единичного ИР в наносекундном и микросекундном временных интервалах ( $N_1 + N_2$ ), практически не зависит от температуры, а определяется только исходной концентрацией предварительно созданных в кристалле  $F_2^+$ -центров. Наличие корреляции между  $N_2$  и концентрацией  $F_2$  ЦО описано нами ранее в [3]. Примером зависимости  $N_1$  от концентрации  $F_2^+$  ЦО при  $T = \text{const}$  служат данные рис. 1, а, б.

Логично предположить, что «быстрый» ( $\tau_1 \leq 2 \cdot 10^{-8}$  с) процесс образования  $F_2$ -центров, сопоставимый по длительности с разрешенными переходами, обусловлен созданием при перезарядке  $F_2^+$ -центров синглетных состояний  $F_2$ -центров, в том числе и излучательных. Действительно, в кристаллах LiF, содержащих  $F_2$  и  $F_2^+$  ЦО, под действием ИР наблюдается быстрозатухающая ( $\tau \leq 2 \cdot 10^{-8}$  с) синглетная радиолоуминесценция (РЛ)  $F_2$  ЦО. Если РЛ  $F_2$ -центров и образование  $F_2$ -центров за время действия ИР являются результатом одного процесса, то следует ожидать подобия температурных зависимостей выхода РЛ  $\eta(T)$  и числа образованных  $F_2$ -центров  $N_1(T)$ . Действительно, полученная нами зависимость  $\eta(T)$  после нормировки совпала с зависимостью от температуры концентрации  $F_2$ -центров ( $N_1$ ), образованных за время действия ИР (рис. 2, в). Необходимо отметить, что, поскольку время затухания синглетной люминесценции  $F_2$ -центров практически не зависит от температуры [4], а энергия возбуждения РЛ в проводимых нами экспериментах всегда была постоянной, под относительной величиной выхода РЛ  $\eta(T)$  в наших экспериментах понималась зависимость интенсивной вспышки РЛ от температуры.

Нами исследована зависимость выхода РЛ  $F_2$ -центров от соотношения концентраций имеющихся в кристалле  $F_2$ - и  $F_2^+$ -центров. Для этого кристалл облучался при 300 К различной величиной интегральной дозы  $D$  с целью создания в кристалле различной концентрации  $F_2$ - и  $F_2^+$ -центров окраски. Затем для каждого значения  $D$  измерялся выход РЛ, возбуждаемой первым и вторым импульсами радиации при 80 К. Как было показано выше, результатом действия первого ИР дооблучения при 80 К является разрушение практически всех имеющихся в кристалле  $F_2$  ЦО с образованием  $F_2$ -центров. Следовательно, перед началом действия второго ИР соотношение между  $F_2$ - и  $F_2^+$ -центрами изменится в пользу  $F_2$  при  $D \approx \text{const}$ . Таким образом, выход РЛ, возбуждаемый при 80 К первым ИР, измерялся нами в кристалле, содержащем  $F_2^+$  и  $F_2$  ЦО, концентрации которых определялись величиной интегральной дозы, а выход РЛ, возбуждаемый при 80 К вторым ИР, измерялся уже в кристалле, содержащем  $F_2$  и не содержащем  $F_2^+$  ЦО. Результаты таких исследований (рис. 3) свидетельствуют о том, что, во-первых, выход РЛ существенно (на порядок) выше в образцах, содержащих  $F_2^+$ -центры, и имеет тенденцию к насыщению с ростом величины интегральной дозы; во-вторых, выход РЛ в случае

отсутствия в кристалле  $F_2^+$  ЦО не равен нулю и увеличивается с ростом  $D$  (рис. 3, б); в-третьих, при  $D \leq 2 \cdot 10^5$  Гр существует прямая пропорциональная зависимость выхода РЛ  $F_2$  ЦО от концентрации  $F_2^+$  ЦО, имеющих в кристалле (рис. 3, вставка). (Зависимость  $\eta(F_2^+)$  получена нами как зависимость разности значений выхода РЛ, возбуждаемой первым и вторым ИР при данном значении  $D$ , от соответствующей этому значению  $D$  концентрации  $F_2^+$ -центров, наводимых при 300 К радиацией в кристалле).

Совокупность описанных экспериментов со всей очевидностью свидетельствует в пользу возникновения излучательного синглетного состояния  $F_2$  ЦО при локализации электронов на  $F_2^+$ -центрах при 80 К, предположенного впервые в [6].

Эффективность процесса образования  $F_2$ -центров в излучательном синглетном состоянии, как было показано выше (рис. 2, е), уменьшается при

прочих равных условиях с повышением температуры кристалла при облучении. Проведенная нами оценка энергии термической активации процесса по зависимости  $\eta(T)$  дает величину  $E_1 \leq 0.06$  эВ.

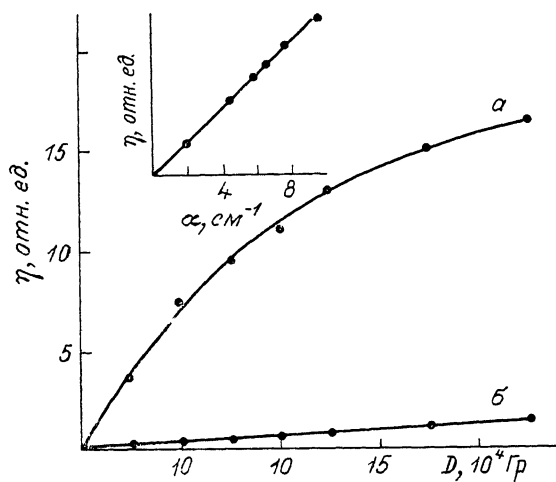


Рис. 3. Зависимость выхода люминесценции  $F_2$ -центров, возбуждаемой действием первого (а) и второго (б) импульсов радиации при 80 К, от величины дозы предварительного облучения кристалла при 300 К.

На вставке — зависимость разности (а—б) для каждого значения интегральной дозы  $D$  от величины коэффициента поглощения в максимуме  $F_2^+$ -полосы при соответствующем значении  $D$ .

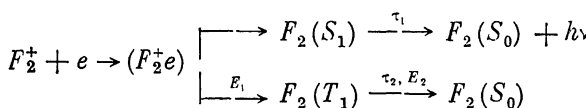
Как отмечено выше, в кристаллах, предварительно облученных, но не содержащих  $F_2^+$ -центров (после длительного хранения или дооблучения кристалла при 80 К), нами наблюдалась РЛ  $F_2$ -центров. Установлено, что интенсивность РЛ прямо пропорциональна концентрации  $F_2^+$ -центров, имеющих в кристалле. Неожиданным оказался тот факт, что характер зависимости  $\eta(T)$  одинаков для кристаллов, содержащих и не содержащих  $F_2^+$ -центры, хотя абсолютный выход РЛ  $F_2$ -центров в кристалле с  $[F_2^+] = 0$  на порядок ниже. Поскольку известно, что при фотовозбуждении облученных кристаллов LiF выход люминесценции  $F_2$  ЦО от температуры практически не зависит [4], следует полагать, что наблюдаемая РЛ  $F_2$  ЦО при  $[F_2^+] = 0$  не связана с такими механизмами возбуждения свечения, как реабсорбция света, излучаемого другими ЦО, или ударное возбуждение электронами, или возбуждение свободными экситонами. Совпадение температурной зависимости интенсивности РЛ  $F_2$ -центров, возбуждаемой ИР в кристаллах без  $F_2^+$ -центров, с аналогичной зависимостью, полученной на кристаллах с  $F_2^+$ -центрами, однозначно указывает на единство механизма возбуждения РЛ в обоих случаях. Так как в случае  $[F_2^+] \neq 0$  РЛ  $F_2$ -центров обусловлена, как показано выше, преимущественно захватом электронов на предварительно накопленных  $F_2^+$ -центрах, то механизм возбуждения РЛ  $F_2$ -центров в кристаллах без  $F_2^+$  ЦО заключается, очевидно, в последовательном захвате на  $F_2$ -центрах за время действия ИР зонной дырки и электрона.

Таким образом, анализ изложенных экспериментальных результатов позволяет следующим образом представить процесс перезарядки  $F_2^+$ -центров с образованием  $F_2$  ЦО. При любой температуре в диапазоне 80—300 К в процессе локализации электронов на  $F_2^+$ -центрах образуются  $F_2$ -центры в двух энергетических состояниях, отличающихся значением спина: в возбужденном синглетном ( $S_1$ ) и триплетном ( $T_1$ ). В результате

последующих излучательных синглет-синглетных ( $S_1 \rightarrow S_0$ ) и, по-видимому, безызлучательных триплет-синглетных ( $T_1 \rightarrow S_0$ ) переходов, осуществляющихся с  $\tau_1$  и  $\tau_2$  соответственно, образуются  $F_2$ -центры в основном синглетном состоянии ( $S_0$ ). Результатом описанных процессов являются рост после окончания воздействия ИР оптического поглощения в  $F_2$ -полосе с постоянными времени  $\tau_1$  и  $\tau_2$ , а также вспышка затухающей с  $\tau_1$  люминесценции  $F_2$ -центров. Энергия активации, определенная по температурной зависимости  $\tau_2$  и равная  $E_2=0.04$  эВ, имеет смысл барьера для  $T_1 \rightarrow S_0$  перехода [6].

Процессы образования  $F_2$ -центров в возбужденных  $S_1$  или  $T_1$  состояниях являются конкурирующими. В температурной области 80—160 К доминирующим является процесс образования  $F_2$ -центров в  $S_1$  состоянии, при  $T \geq 160$  К — в  $T_1$  состоянии. Природа стартового состояния, из которого образуются  $F_2$ -центры в  $S_1$  или  $T_1$  состояниях, не ясна. Можно лишь утверждать, что им не может быть  $S_1$  состояние, так как в [4] показано, что выход синглетной люминесценции при фотовозбуждении  $F_2$ -центров уменьшается с ростом температуры в интервале 80—300 К лишь в 1.2 раза, что указывает на слабую зависимость от температуры вероятности интеркомбинационных переходов  $S_1 \rightarrow T_1$ . Следовательно, интеркомбинационной конверсией  $S_1 \rightarrow T_1$  нельзя объяснить сильные температурные зависимости выхода синглетной люминесценции и эффективностей создания  $F_2$ -центров в синглетном ( $N_1$ ) и триплетном ( $N_2$ ) состояниях, наблюдаемые в эксперименте (рис. 2, б, в).

Таким образом, общую схему процесса можно представить в следующем виде:



Следует отметить, что вопрос о причине конкуренции  $S_1$  и  $T_1$  состояний, а также о физической сущности термоактивационного барьера  $E_1$  остается открытым. Прогресс в понимании возможен при изучении процессов перезарядки  $F_2^+$ -центров с применением более коротких импульсов возбуждения и более высокого временного разрешения.

В заключение авторы выражают признательность В. Ю. Яковлеву и В. Ф. Штанько за полезные обсуждения результатов работы.

#### С п и с о к л и т е р а т у р ы

- [1] Nahum J. // Phys. Rev. 1967. V. 158. N 3. P. 814—825.
- [2] Farge V., Lambert M., Smoluchowski P. // Solid State Commun. 1966. V. 4. N 7. P. 333—336.
- [3] Лисицына Л. А., Кравченко В. А., Рейтеров В. М. // ЖПС. 1990. Т. 52. № 6. С. 147—152.
- [4] Непомнящих А. И., Раджабов Е. А., Егранов А. В. Центры окраски и люминесценция кристаллов LiF. Новосибирск: Наука, 1984. 111 с.
- [5] Лобанов Б. Д., Максимова Н. Т., Щепина Л. И. // Опт. спектр. 1981. Т. 51. № 6. С. 1104—1105.
- [6] Адуев Б. П., Вайсбурд Д. И. // ФТТ. 1981. Т. 23. № 6. С. 1863—1871.

Томский инженерно-строительный институт

Поступило в Редакцию 23 апреля 1990 г.